

**ПРЯМАЯ РЕГИСТРАЦИЯ ФАЗОВОГО ПЕРЕХОДА  $\beta\text{-}1,5 \rightleftharpoons \beta\text{-}8$**   
**В  $\beta$ -ТРИОДИДЕ ДИ БИС (ЭТИЛЕНДИТИОЛО) ТЕТРАТИОФУЛЬВАЛЕНА**  
 $\beta\text{-}(\text{ET})_2\text{I}_3$

В.Б.Гинодман, А.В.Гуденко, П.А.Кононович<sup>1)</sup>,  
 В.Н.Лаухин<sup>1)</sup>, И.Ф.Щеголев<sup>1)</sup>

Впервые зарегистрирован фазовый переход  $\beta\text{-}1,5 \rightleftharpoons \beta\text{-}8$  в  $\beta\text{-}(\text{ET})_2\text{I}_3$  по скачкам сопротивления на зависимостях  $R(T)$  и  $R(P)$ . Обнаружено, что фаза  $\beta\text{-}8$  является более упорядоченной, чем фаза  $\beta\text{-}1,5$ . Обсуждается возможный вид фазовой  $T - P$ -диаграммы  $\beta\text{-}(\text{ET})_2\text{I}_3$ .

В<sup>1, 2</sup> было обнаружено, что в  $\beta\text{-}(\text{ET})_2\text{I}_3$ , кроме сверхпроводящей фазы с  $T_c = 1,5 \text{ K}$ <sup>3</sup> (фаза  $\beta\text{-}1,5$ ), при давлениях  $\sim$  кбар существует еще одна сверхпроводящая фаза с  $T_c \approx 7 \div 8 \text{ K}$  (фаза  $\beta\text{-}8$ ). Однако до сих пор нет никаких сведений о прямой регистрации фазового превращения  $\beta\text{-}1,5 \rightleftharpoons \beta\text{-}8$ . В настоящей работе мы сообщаем о регистрации этого перехода по скачкам на зависимостях  $R(T)$  и  $R(P)$ .

Для сжатия образцов использовалась бомба с газообразным гелием<sup>4</sup>, что позволяло создавать строго однородные давления вплоть до температуры затвердевания гелия. Для измерения сопротивления применялись поджимные контакты типа описанных в<sup>5</sup>. Обычно применяемая методика подклейки контактов с помощью проводящей пасты оказалась в данном случае совершенно неприемлемой, поскольку она часто приводит к невоспроизводимым скачкам сопротивления из-за деформаций, возникающих в области контактов. Было исследовано два монокристалла  $\beta\text{-}(\text{ET})_2\text{I}_3$  с отношением  $R_{300}/R_{4,2} \approx 550$  без каких-либо следов предпереходных явлений в области  $7 - 8 \text{ K}$ , о которых сообщалось в<sup>4, 6</sup>. На этих кристаллах не наблюдалось эффектов термоциклирования, описанных в<sup>6, 7</sup>.

На рис. 1, 2 показаны примеры наблюдаемых скачков сопротивления для одного образца. Вертикальные участки приведенных кривых соответствуют изменению сопротивления образца с течением времени при неизменных  $T$  и  $P$ .

Кривая 1 (рис. 1) представляет зависимость  $R(T)$  при охлаждении и отогревании образца при  $P = 1$  бар. Кривая 2 дает ту же зависимость на этапе д) следующего цикла: а)  $T = 300 \text{ K}, P = 1 \rightarrow 400$  бар; б)  $P = 400, T = 300 \rightarrow 60$ ; в)  $T = 60, P = 400 \rightarrow 1$ ; г)  $P = 1, T = 60 \rightarrow 4,2$ ; д)  $P = 1, T = 4,2 \rightarrow 200$ ; е)  $P = 1, T = 200 \rightarrow 4,2 \rightarrow 200$ . Низкотемпературные части обеих кривых (в координатах  $R - T^2$ ) показаны на вставке, из которой видно, что в первом случае образец находится в фазе  $\beta\text{-}1,5$ , а во втором – в фазе  $\beta\text{-}8$ . Охлаждение образца на этапе е) показало, что ход его сопротивления при низких температурах соответствует кривой 1, а не кривой 2. Таким образом, скачок на кривой 2 при  $124 \text{ K}$  соответствует фазовому превращению  $\beta\text{-}8 \rightarrow \beta\text{-}1,5$ .

Кривые 3, 4 (рис. 1) показывают, соответственно, поведение  $R(T)$  на этапах б) и д) следующего цикла: а)  $T = 200 \text{ K}, P = 1 \rightarrow 200$  бар; б)  $P = 200, T = 200 \rightarrow 100$ ; в)  $T = 100, P = 200 \rightarrow 1$ ; г)  $T = 100, P = 1 \rightarrow 200$ ; д)  $P = 200, T = 100 \rightarrow 200$ .

Нужно считать, что выше  $134 \text{ K}$  образец находится в фазе  $\beta\text{-}1,5$ , поскольку в этой области температур на кривых  $R(P)$  не наблюдается никаких особенностей. Напротив, ниже  $110 \text{ K}$  образец находится в фазе  $\beta\text{-}8$ , поскольку после разгрузки на этапе в) изменение его сопротивления с температурой следует кривой 2. Таким образом, при  $P = 200$  бар при охлаждении в районе  $110 \pm 2 \text{ K}$  происходит переход  $\beta\text{-}1,5 \rightarrow \beta\text{-}8$ , а при отогреве в районе  $134 \pm 2 \text{ K}$  – переход  $\beta\text{-}8 \rightarrow \beta\text{-}1,5$ .

На рис. 2 показаны зависимости  $R(P)$  в циклах нагружения и разгрузки при нескольких температурах. В начале каждого цикла образец находится в фазе  $\beta\text{-}1,5$ . Скачки на кривых  $R(P)$  соответствуют переходам  $\beta\text{-}1,5 \rightleftharpoons \beta\text{-}8$ .

<sup>1)</sup> Отделение института химической физики АН СССР.

Температуры и давления переходов, наблюдавшихся по скачкам на зависимостях  $R(T)$  и  $R(P)$ , представлены в виде кривых 1, 2 на рис. 3. Кривая 1 соответствует переходу  $\beta\text{-}8 \rightarrow \beta\text{-}1,5$  при отогреве (разгрузке). Она пересекает ось  $P = 0$  при 124 К, что хорошо согласуется с результатом<sup>8</sup>. Кривая 2 соответствует образованию фазы  $\beta\text{-}8$  при охлаждении (нагрузке). Видно, что фаза  $\beta\text{-}8$  может быть получена при давлениях, много меньших тех 0,5 ± 1 кбар, о которых сообщалось ранее<sup>1, 2, 4, 9</sup>. Тем не менее, кривая 2 заведомо не доходит до оси ординат, поскольку известно, что фаза  $\beta\text{-}1,5$  существует при нормальном давлении при всех температурах. Возникает вопрос, до каких давлений ее можно сохранить, нагружая образец при температурах, скажем, ниже 110 К.

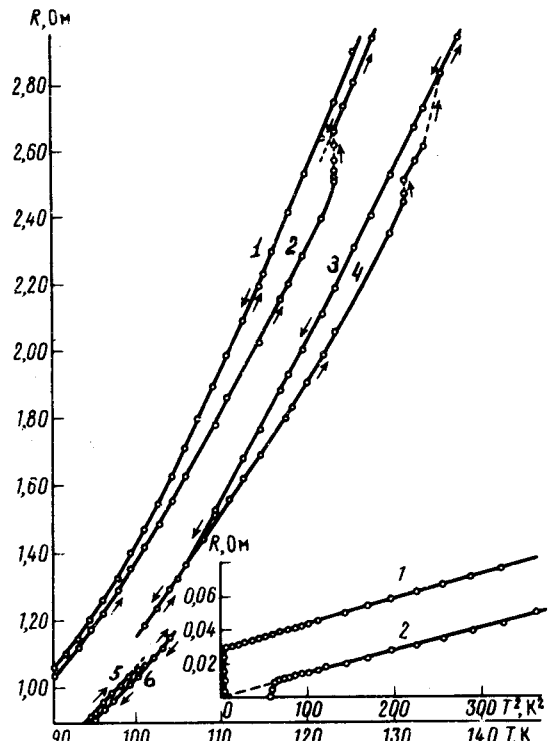


Рис. 1. Температурные зависимости сопротивления  $\beta\text{-(ET)}_2\text{I}_3$  в фазах  $\beta\text{-}1,5$  и  $\beta\text{-}8$ : 1, 2 –  $P = 1$  атм, 3, 4 –  $P = 200$  атм, 5, 6 –  $P = 400$  атм. На вставке показана низкотемпературная часть кривых 1, 2 для фаз  $\beta\text{-}1,5$  и  $\beta\text{-}8$ , соответственно (смотри текст)

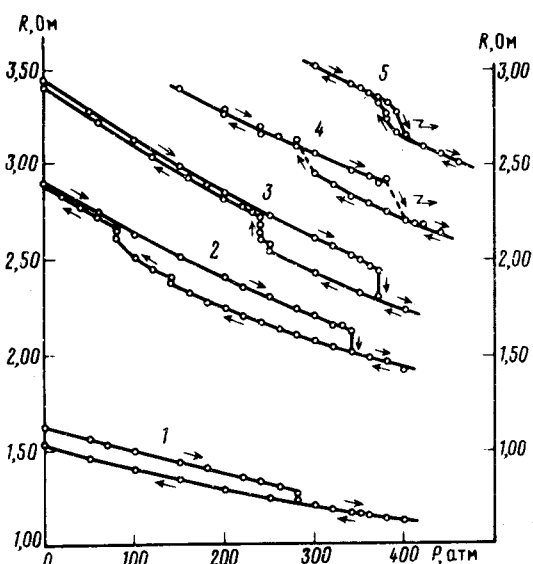


Рис. 2. Зависимость сопротивления от давления для  $\beta\text{-(ET)}_2\text{I}_3$  при различных температурах: 1 –  $T = 104,5$  К, 2 –  $T = 128,5$  К, 3 –  $T = 136,5$  К, 4 –  $T = 140$  К, 5 –  $T = 151$  К

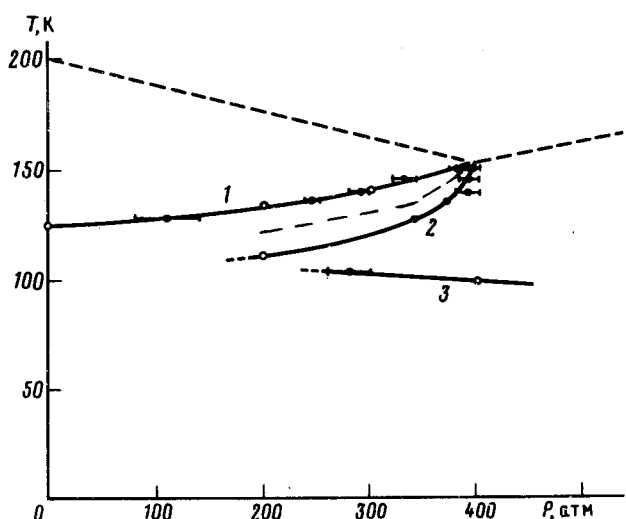


Рис. 3. Часть фазовой  $T - P$ -диаграммы  $\beta\text{-(ET)}_2\text{I}_3$ . Сплошными линиями показаны границы областей стабильного (кривые 2, 3) и метастабильного (кривая 1) существования фазы  $\beta\text{-}8$ , пунктиром изображены предполагаемые линии равновесных превращений (смотри текст)

Результат соответствующего эксперимента представлен кривыми 1 на рис. 2. Из него видно, что при  $T = 104,5$  К необратимый переход  $\beta\text{-}1,5 \rightarrow \beta\text{-}8$  происходит при  $P \approx 280$  бар. Эта точка отложена на кривой 3 рис. 3. Вторая точка этой кривой получена в изобарическом цикле, представленном кривыми 5, 6 рис. 1. Кривая 5 относится к фазе  $\beta\text{-}1,5$ , полученной нагружением до  $P = 400$  бар при 20 К, а кривая 6 относится к фазе  $\beta\text{-}8$ . Видно, что в этом случае переход  $\beta\text{-}1,5 \rightarrow \beta\text{-}8$  происходит при  $T = 100 \pm 2$  К.

Набросок  $T - P$  диаграммы (рис. 3) показывает, что область устойчивого существования фазы  $\beta\text{-}8$  ограничена кривыми 2, 3. Линии 1, 2 – гистерезисные ветви превращения  $\beta\text{-}1,5 \rightarrow \beta\text{-}8$ . Исчезновение гистерезиса вблизи  $T \approx 150$  К,  $P \approx 400$  бар может указывать на изменение рода перехода. Возможно, это связано с существованием в этом районе тройной точки, к которой подходит линия сверхструктурного перехода второго рода в фазе  $\beta\text{-}1,5$ , обнаруженного при нормальном давлении в районе 200 К в <sup>10</sup>. Третья линия здесь может соответствовать упорядочению этиленовых групп молекулы ЕТ, зарегистрированному при  $T = 300$  К и  $P = 9,5$  кбар в <sup>11</sup>.

В <sup>12</sup> высказывалось предположение, что высокое значение  $T_c$  в фазе  $\beta\text{-}8$  связано с давлением упомянутого сверхструктурного перехода. Хотя сверхструктура в  $\beta\text{-}8$  действительно не была обнаружена <sup>9</sup>, предположение <sup>12</sup> плохо согласуется с тем обстоятельством, что при этом сверхструктурном переходе не наблюдается существенного изменения электронных свойств <sup>13 – 15</sup>.

Из данных, представленных на вставке рис. 1 вытекает, что состояние  $\beta\text{-}8$  более упорядочено, чем состояние  $\beta\text{-}1,5$ . В обеих фазах  $R(T) = R_0 + AT^2$ , причем значения  $A$  близки друг к другу, в то время как величины  $R_0$  отличаются более, чем в 30 раз. Если сильное различие  $T_c$  фаз  $\beta\text{-}1,5$  и  $\beta\text{-}8$  связано именно с этим обстоятельством, то либо неупорядоченность фазы  $\beta\text{-}1,5$  так сильна, что фаза находится вблизи андерсоновского перехода, либо мы имеем дело с триплетной сверхпроводимостью, поскольку наличие слабого беспорядка не оказывается на величине  $T_c$  в случае синглетного спаривания.

В заключение выражаем благодарность Э.Б.Ягубскому, Е.Э.Костюченко за предоставление образцов и Л.Н.Жерихиной за участие в работе.

#### Литература

1. Лаухин В.Н., Костюченко Е.Э., Сушко Ю.В. и др. Письма в ЖЭТФ, 1985, **41**, 68.
2. Murata K., Tokumoto M., Anzai H. et al. Journ. Phys. Soc. Jap., 1985, **84**, 236.
3. Ягубский Э.Б., Щеголов И.Ф., Лаухин В.Н. и др. Письма в ЖЭТФ, 1984, **39**, 12.
4. Гинодман В.Б., Гуденко А.В., Засавицкий И.И. и др. Письма в ЖЭТФ, 1985, **42**, 384.
5. Буравов Л.И., Лаухин В.Н., Хоменко А.Г. ЖЭТФ, 1985, **88**, 2185.
6. Buravov L.I., Kartsovnik M.V., Kaminskii V.F. et al. Syntetic Metals, 1985, **11**, 207.
7. Гинодман В.Б., Гуденко А.В., Жерихина Л.Н. Письма в ЖЭТФ, 1985, **41**, 41.
8. Creuzet F., Jerome D., Sohweitzek D. et al. Europhysics Lett., 1986, **1**, 461.
9. Schultz A.J., Beno M.A., Wang H.H. et al. Phys. Rev. B., 1986, **33**, 7823.
10. Leung P.C., Emge I.J., Beno M.A. et al. Journ. Amer. Chem. Soc., 1984, **106**, 7644.
11. Молчанов В.Н., Шибаева Р.П., Каминский В.Н. и др. ДАН СССР, 1986, **286**, 637.
12. Зварыкина А.В., Кононович П.А., Лаухин В.Н. и др. Письма в ЖЭТФ, 1986, **43**, 257.
13. Creuzet F., Bourbonnais C., Jerome D. et al. Europhysics Lett., 1986, **1**, 467.
14. Моржанов В.А., Костюченко Е.Э., Фабер О.Е. и др. ЖЭТФ, 1985, **89**, 292.
15. Rothamel B., Forró L., Cooper J.R. et al. Phys. Rev. B., 1986, **34**, 704.